

Des posets de partitions aux espèces en posets opéradiques

Bérénice Delcroix-Oger
avec Clément Dupont (IMAG)



But pour aujourd'hui

Expliquer comment construire une structure d'opéade sur la cohomologie de familles de posets, munies d'une structure additionnelle.

Plan de l'exposé

- 1 Opéade de Lie sur la cohomologie des posets de partitions
- 2 Espèces en posets opéradiques (operadic poset species)
- 3 Exemples d'espèces en posets opéradiques (posets des fonctions de parking et posets des hyperarbres)

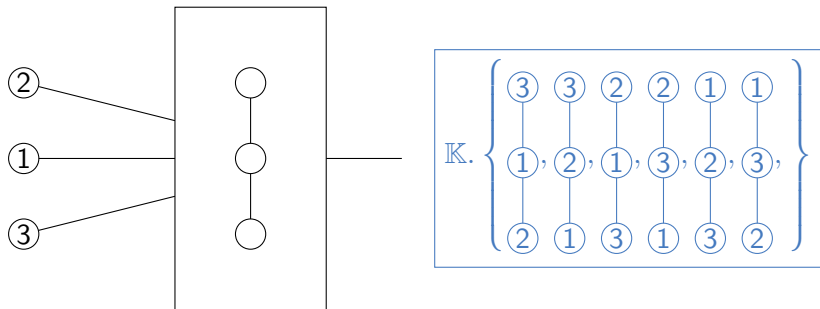
Opérade Lie sur la cohomologie des posets de partitions

Qu'est-ce qu'une espèce (de structure)?

Définition (Joyal, 80s)

Une **espèce ensembliste** F est un foncteur de la catégorie des ensembles finis et bijections Bij vers la catégorie des ensembles finis Set .

Un **espèce vectorielle** L est un foncteur de Bij vers Vect .



Exemples d'espèces

- $\mathbb{K}.\{(1, 2, 3), (1, 3, 2), (2, 1, 3), (2, 3, 1), (3, 1, 2), (3, 2, 1)\}$ (Espèce des listes Assoc on $\{1, 2, 3\}$)
- $\mathbb{K}.\{\{1, 2, 3\}\}$ (Espèces des ensembles Comm)
- $\mathbb{K}.\{\{1\}, \{2\}, \{3\}\}$ (Espèce des ensembles pointés Perm)

- $\mathbb{K}.\left\{ \begin{array}{c} \textcircled{3} \\ | \\ \textcircled{2} \\ / \quad \backslash \\ \textcircled{1} \quad \textcircled{3} \end{array} , \begin{array}{c} \textcircled{2} \\ | \\ \textcircled{3} \\ / \quad \backslash \\ \textcircled{1} \quad \textcircled{1} \end{array} , \begin{array}{c} \textcircled{3} \\ | \\ \textcircled{1} \\ / \quad \backslash \\ \textcircled{2} \quad \textcircled{3} \end{array} , \begin{array}{c} \textcircled{1} \\ | \\ \textcircled{3} \\ / \quad \backslash \\ \textcircled{2} \quad \textcircled{1} \end{array} , \begin{array}{c} \textcircled{2} \\ | \\ \textcircled{1} \\ / \quad \backslash \\ \textcircled{3} \quad \textcircled{2} \end{array} , \begin{array}{c} \textcircled{1} \\ | \\ \textcircled{2} \\ / \quad \backslash \\ \textcircled{3} \quad \textcircled{3} \end{array} \right\}$ (Espèce des arbres de Cayley \mathbb{T})

- $\mathbb{K}.\{[[1, 2], 3], [[1, 3], 2]\}$ (Espèce des crochets de Lie Lie)

Ces espaces vectoriels sont l'image par une espèce de l'ensemble $\{1, 2, 3\}$. Tous, sauf le dernier, sont obtenus en considérant l'espace vectoriel engendré par une espèce ensembliste.

Substitution d'espèces

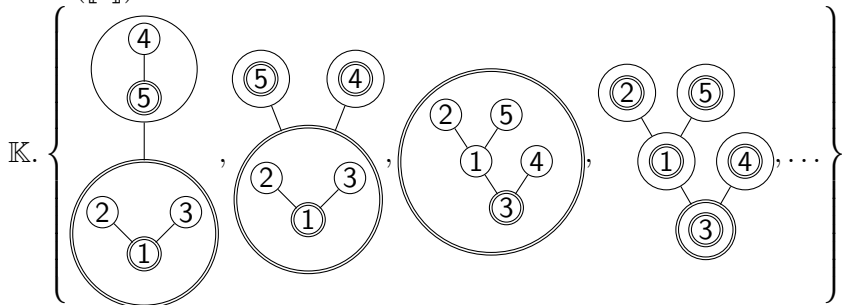
Proposition

Soient F et G deux espèces vectorielles. On définit:

$$(F \circ G)(S) = \bigoplus_{\pi \in \Pi(S)} F(\pi) \otimes \bigotimes_{J \in \pi} G(J),$$

où $\Pi(S)$ est l'ensemble des partitions de l'ensemble S .

$\mathbb{T} \circ \mathbb{T}([5]) =$

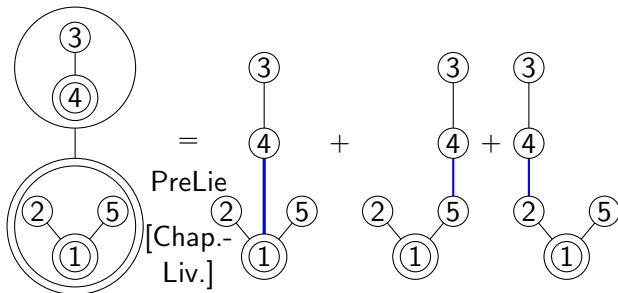


Opérades

Une **opérade** symétrique (resp. **opérade ensembliste symétrique**) \mathcal{O} est

- une **espèce vectorielle** (resp. **espèce ensembliste**) \mathcal{O} munie d'une **composition associative**

$$\gamma : \mathcal{O} \circ \mathcal{O} \rightarrow \mathcal{O}$$



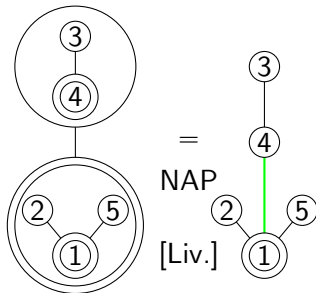
- et une unité $i : I \rightarrow \mathcal{O}$, où I est l'espèce singleton ($I(S) = \delta_{|S|=1} \mathbb{C}$).
- À tout type d'algèbre est associé une **opérade**.

Opérades

Une **opérade** symétrique (resp. **opérade ensembliste symétrique**) \mathcal{O} est

- une **espèce vectorielle** (resp. **espèce ensembliste**) \mathcal{O} munie d'une **composition associative**

$$\gamma : \mathcal{O} \circ \mathcal{O} \rightarrow \mathcal{O}$$



- et une unité $i : I \rightarrow \mathcal{O}$, où I est l'espèce singleton ($I(S) = \delta_{|S|=1}\mathbb{C}$).
- À tout type d'algèbre est associé une **opérade**.

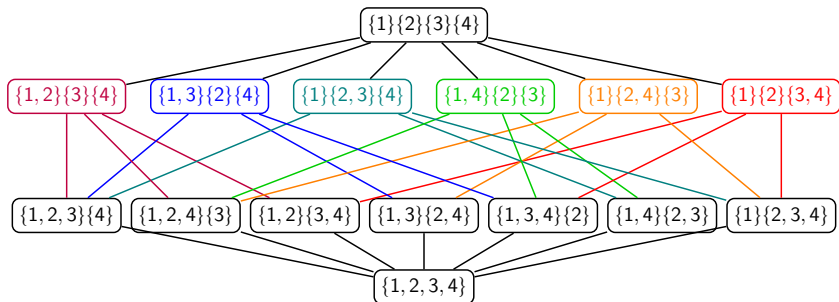
Posets de partitions d'un ensemble $V : \Pi(V)$

Partitions d'un ensemble V :

$$\{V_1, \dots, V_k\} \models V \Leftrightarrow V = \bigsqcup_{i=1}^k V_i, V_i \cap V_j = \emptyset \text{ pour } i \neq j$$

Ordre partiel sur les partitions d'un ensemble V :

$$\{V_1, \dots, V_k\} \leq \{V'_1, \dots, V'_p\} \Leftrightarrow \forall i \in \{1, p\}, \exists j \in \{1, k\} \text{ t.q. } V'_i \subseteq V_j$$



Cohomologie (relative) de posets

À tout poset P peut être associé un complexe de cochaînes $c^\bullet(P)$ dont les k -cochaînes sont les $x_0 < \dots < x_k$ dans P , où x_0 est un élément minimal et x_k un élément maximal de P , avec le cobord suivant:

$$d[\gamma] = \sum_{i=1}^n (-1)^i \sum_{x_{i-1} < y < x_i} [x_0 < x_1 < \dots < x_{i-1} < y < x_i < \dots < x_{n-1} < x_n].$$

On note h^\bullet la cohomologie de $c^\bullet(P)$.

Remarque :

Quand P est borné, $h^n(P) = \tilde{H}^{n-2}(P \setminus \{\hat{0}, \hat{1}\})$.

Cohomologie des posets de partitions

Proposition (Hanlon, 81 ; Stanley, 82 ; Joyal 85)

Le poset des partitions de V , $\Pi(V)$, a un unique groupe de cohomologie non trivial, dont la dimension est donnée par :

$$\mu(\Pi(V)) = (|V| - 1)!$$

De plus, l'action du groupe symétrique sur cette homologie est :

$$h^{n-1}(\Pi(V)) = \text{Lie}(V) \otimes_{\mathfrak{S}_V} \text{sgn},$$

où sgn est la représentation signature.

$$\text{Lie}(\{1, 2\}) = \mathbb{K} \cdot \{[1; 2]\} \text{ avec } [1; 2] = -[2; 1]$$

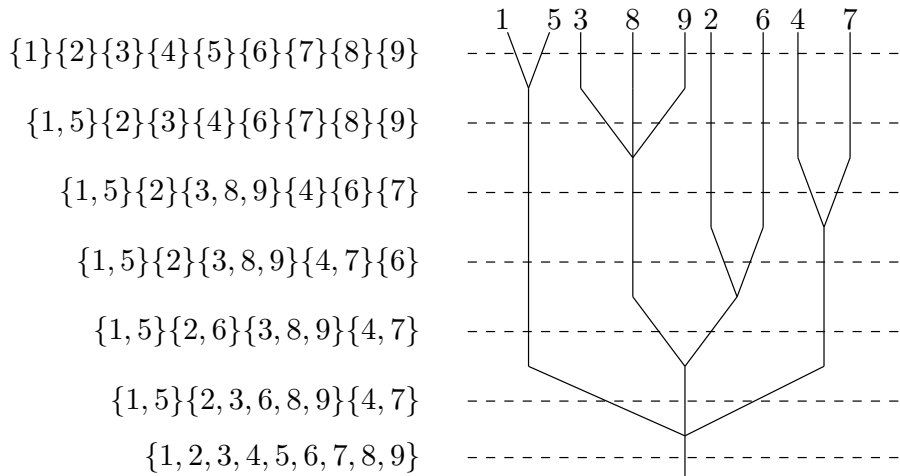
$$\text{Lie}(\{1, 2, 3\}) = \mathbb{K} \cdot \{[[1; 2]; 3], [[1; 3]; 2]\}$$

avec $[[1; 2]; 3] + [[2; 3]; 1] + [[3; 1]; 2] = 0$ (relation de Jacobi)

$$\text{Lie}(\{1, \dots, n\}) = \mathbb{K} \cdot \{[\dots [1; \sigma(2)]\sigma(3)] \dots \sigma(n)], \sigma \in \mathfrak{S}(\{2, \dots, n\})\}$$

[Reutenauer]

Construction (co)bar à niveaux [Fresse, 02]



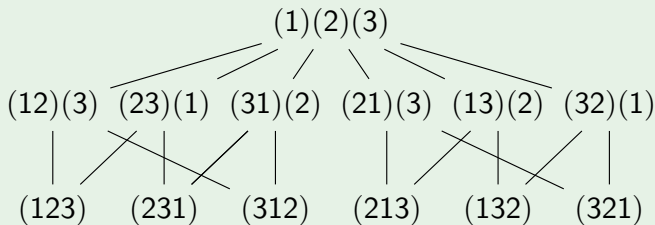
Posets de partitions décorées [Vallette, 07]

Définition

Soit \mathcal{P} une opérade ensembliste connexe ($\mathcal{P}(\emptyset) = \emptyset$ et $\mathcal{P}(\{*\}) = \{*\}$). Une **partition \mathcal{P} -décorée** d'un ensemble fini V est une paire (π, ξ) , où π est une partition de V et $\xi = (\xi_T)_{T \in \pi}$, avec $\xi_T \in \mathcal{P}(T)$ pour tout $T \in \pi$. L'ensemble des partitions \mathcal{P} -décorées de V est munie d'un ordre partiel

$$(\alpha, \eta) \leq (\beta, \xi) \Leftrightarrow \alpha \leq_{\Pi(V)} \beta, \forall A \in \alpha, \exists \nu_A \in \mathcal{P}(\beta|_A) \text{ s.t. } \eta_A = \nu_A \circ (\xi_B)_{B \in \beta|_A}$$

Partitions Assoc-décorées de $\{1, 2, 3\}$



Basiques

Définition

Une opérade ensembliste \mathcal{P} est

- Basique à gauche ssi $\prod_{T \in \pi} \mathcal{P}(T) \rightarrow \mathcal{P}(S)$, $(\xi_T)_{T \in \pi} \mapsto \nu \circ (\xi_T)_{T \in \pi}$ est injective
- Basique à droite ssi $\mathcal{P}(\pi) \rightarrow \mathcal{P}(S)$, $\nu \mapsto \nu \circ (\xi_T)_{T \in \pi}$ est injective

Exemples and contre-exemples

- Perm est basique à droite, mais pas à gauche.
- L'opérade quadratique avec deux générateurs \dashv et \vdash et les relations suivantes est basique à gauche mais pas à droite.

$$\begin{aligned}(a \dashv b) \vdash c &= (a \dashv b) \dashv c & (a \vdash b) \vdash c &= (a \vdash b) \dashv c \\ a \vdash (b \dashv c) &= a \dashv (b \dashv c) & a \vdash (b \vdash c) &= a \dashv (b \vdash c)\end{aligned}$$

- Assoc et Comm sont à la fois basiques à gauche et à droite.

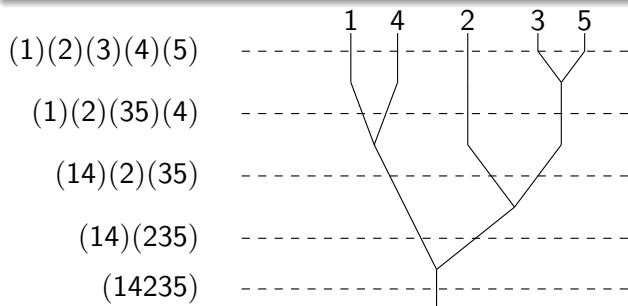
Posets de partitions décorées [Vallette, 07]

Théorème (Vallette, 07)

Quand \mathcal{P} est basique à droite, l'opérade vectorielle $\mathbb{K}\mathcal{P}$ est Koszul ssi les posets associés $\Pi^{\mathcal{P}}(V)$ ont un unique groupe de cohomologie non trivial (Cohen-Macaulay), pour tout V .

De plus, dans ce cas, notant $(\mathbb{K}\mathcal{P})^!$ son dual de Koszul, l'unique groupe de cohomologie non trivial est donné par :

$$h^{|V|-1}(\Pi^{\mathcal{P}}(V)) \simeq s^{n-1} (\mathbb{K}\mathcal{P})^!(V) \otimes_{\mathbb{G}_V} \text{sgn} =: \Lambda^{-1} (\mathbb{K}\mathcal{P})^!(V).$$



Cas associatif

Arbres **plans** à
niveaux.

Cohomologie des posets d'hyperarbres

Theorem (Conjecture de Chapoton, ; prouvée dans 0.,13)

Le poset augmenté des hyperarbres $\widehat{HT}(V)$ est Cohen-Macaulay et

$$\tilde{H}^{|S|-3}(\widehat{HT}(S) \setminus \{\hat{0}, \hat{1}\}) = \Lambda^{-1} \widehat{\text{PreLie}}(S),$$

pour tout ensemble fini S .

Cohomologie des posets d'hyperarbres

Theorem (Conjecture de Chapoton, ; prouvée dans 0.,13)

Le poset augmenté des hyperarbres $\widehat{HT}(V)$ est Cohen-Macaulay et

$$\tilde{H}^{|S|-3}(\widehat{HT}(S) \setminus \{\hat{0}, \hat{1}\}) = \Lambda^{-1} \widehat{\text{PreLie}}(S),$$

pour tout ensemble fini S .

Question

Pourquoi une opérade apparaît-elle ici ?

Cohomologie des posets d'hyperarbres

Theorem (Conjecture de Chapoton, ; prouvée dans 0.,13)

Le poset augmenté des hyperarbres $\widehat{HT}(V)$ est Cohen-Macaulay et

$$\tilde{H}^{|S|-3}(\widehat{HT}(S) \setminus \{\hat{0}, \hat{1}\}) = \Lambda^{-1} \widehat{\text{PreLie}}(S),$$

pour tout ensemble fini S .

Question

Pourquoi une opérade apparaît-elle ici ?

Réponse

On peut munir la famille des posets d'hyperarbres d'une structure d'espèce en posets opéradiques.

Espèces en posets opéradiques

Propriétés des posets de partitions

Proposition (Folklore)

Pour toute partition $\pi \in \Pi(S)$, nous avons les isomorphismes de posets suivants

$$\varphi_\pi : \Pi_{\leq \pi}(S) \xrightarrow{\sim} \Pi(\pi) \quad \text{and} \quad \psi_\pi : \Pi_{\geq \pi}(S) \xrightarrow{\sim} \prod_{T \in \pi} \Pi(T)$$

définis par $\alpha \mapsto \{\pi|_T, T \in \alpha\}$ et $\beta \mapsto (\beta|_T)_{T \in \pi}$ respectivement.

Exemples

Soient $S = \{a, b, c, d, e, f, g\}$ et $\pi = \{T_1, T_2, T_3\} =: T_1|T_2|T_3$, avec $T_1 = \{a, b, c\}$, $T_2 = \{d, e\}$, $T_3 = \{f, g\}$.

$$\begin{aligned} \varphi_\pi(x) &= \varphi_\pi(abcde|fg) = 12|3 =: x/\pi \\ \psi_\pi(a|bc|d|e|fg) &= (a|bc, d|e, fg). \end{aligned}$$

Composition des cochaînes

Soient S un ensemble fini et π une partition de S .

Notant κ le morphisme de Künneth, on a l'application suivante :

$$c^\bullet(\Pi(\pi)) \otimes \bigotimes_{T \in \pi} c^\bullet(\Pi(T)) \xrightarrow{id \otimes \kappa} c^\bullet(\Pi(\pi)) \otimes c^\bullet\left(\prod_{T \in \pi} \Pi(T)\right) \\ \xrightarrow{\varphi_\pi^* \otimes \psi_\pi^*} c^\bullet(\Pi_{\leq \pi}(S)) \otimes c^\bullet(\Pi_{\geq \pi}(S)) \rightarrow c^\bullet(\Pi(S)).$$

Ceci ne permet pas de définir une opérade différentielle graduée sur c^\bullet (manque d'associativité et de commutativité) mais cela induit une structure d'opérade graduée sur la cohomologie du complexe qui est exactement $\Lambda^{-1}Lie$.

Espèce en posets opéradique

Soit P une espèce en posets, avec $a : P \rightarrow \Pi$, tel que pour tout ensemble fini S , $a(S) : P(S) \rightarrow \Pi(S)$ **strictement croissante**.

Considérons

$$\varphi_x : P_{\leq x}(S) \rightarrow P(\pi) \quad \text{et} \quad \psi_x : P_{\geq x}(S) \rightarrow \prod_{T \in \pi} P(T)$$

Définition

L'espèce en poset P avec a , φ_x et ψ_x est une **espèce en posets opéradique** si

- $\varphi_\pi \circ a = a \circ \varphi_x$, $\psi_\pi \circ a = a \circ \psi_x$
- φ_x et ψ_x satisfont de plus des axiomes d'équivariance, d'associativité et d'unité.

Théorème (D.O. - Dupont, 24+)

$h^\bullet(P)$ est munie d'une structure d'opérade vectorielle graduée.

Conséquences de la construction

Théorème (D.O. - Dupont, 24+)

$h^\bullet(P)$ est munie d'une structure d'opéade vectorielle graduée.

Proof: On construit le morphisme

$\rho_\pi : h^\bullet(P(\pi)) \otimes \bigotimes_{T \in \pi} h^\bullet(P(T)) \rightarrow h^\bullet(P(S))$ pour tout $\pi \in \Pi(S)$.

□

Contre-exemple

La famille des posets booléens ne peut pas être munie d'une structure d'espèce en posets opéradiques (pour des raisons de dimension et de degré).

Premier exemple : posets de partitions décorées à droite $\Pi^{\mathcal{P}}$ aka posets de partitions généralisées de Vallette

- $a(\pi, \xi) = \pi$
- $\varphi_{(\pi, \xi)}((\alpha, \eta)) = (\alpha/\pi, \nu)$ (avec $\eta_A = \nu_A \circ (\xi_P)_{P \in \pi|_A}$ pour toute part A de α): ce n'est PAS un isomorphisme de posets.
- $\psi_{(\pi, \xi)}((\beta, \nu)) = \prod_{T \in \pi} \beta|_T$: c'est un isomorphisme de posets.

Proposition (D.O. - Dupont, 24+)

$\Pi^{\mathcal{P}}$ est une espèce en posets opéradique.

2nd exple : posets de partitions décorées à gauche $\mathcal{P}\Pi$

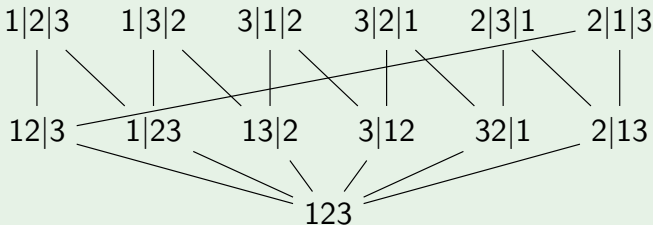
Définition

Soit \mathcal{P} une opérade ensembliste avec $\mathcal{P}(\emptyset) = \emptyset$ et $\mathcal{P}(\{*\}) = \{*\}$.

Une **partition \mathcal{P} -décorée à gauche** d'un ensemble fini V est une paire (π, ξ) , où π est une partition de V et $\xi \in \mathcal{P}(\pi)$. L'ensemble des partitions \mathcal{P} -décorées à gauche de V est muni de l'ordre partiel suivant

$$(\alpha, \nu) \leq (\beta, \eta) \Leftrightarrow \alpha \leq_{\Pi(V)} \beta, \eta = \nu \circ (\xi_A)_{A \in \alpha}.$$

$\text{Assoc}\Pi(\{1, 2, 3\})$, le treillis des faces du permutoèdre



2nd exple : posets de partitions décorées à gauche $\mathcal{P}\Pi$

- $a(\pi, \xi) = \pi$
- $\varphi_{(\pi, \xi)}((\alpha, \eta)) = (\alpha/\pi, \tilde{\eta})$, où $\tilde{\eta}$ est la décoration de $\mathcal{P}(\alpha/\pi)$ induite par η : c'est un isomorphisme de posets.
- $\psi_{(\pi, \xi)}((\beta, \eta)) = \prod_{T \in \pi} (\beta|_T, \mu_T)$, où $\eta = \xi \circ (\mu_T)_{T \in \pi}$: ce n'est PAS un isomorphisme de posets.

Proposition (D.O. - Dupont, 24+)

Quand \mathcal{P} est basique à gauche, $\mathcal{P}\Pi$ est une espèce en posets opéradique.

D'autres cohomologies

En considérant

$$\check{c}^k(P) = \mathbb{K}.\{x_0 < \dots < x_k \mid x_0 \in \min(P)\}$$

$$\hat{c}^k(P) = \mathbb{K}.\{x_0 < \dots < x_k \mid x_k \in \max(P)\}$$

nous obtenons les morphismes

$$\check{\rho}_\pi : h^\bullet(P(\pi)) \otimes \bigotimes_{T \in \pi} \check{h}^\bullet(P(T)) \rightarrow \check{h}^\bullet(P(S)).$$

$$\hat{\rho}_\pi : \hat{h}^\bullet(P(\pi)) \otimes \bigotimes_{T \in \pi} h^\bullet(P(T)) \rightarrow \hat{h}^\bullet(P(S)).$$

Proposition (D.O. - Dupont, 24+)

$\check{h}^\bullet(P)$ est un $h^\bullet(P)$ -module opéradique à gauche.

$\hat{h}^\bullet(P)$ est un $h^\bullet(P)$ -module opéradique à droite.

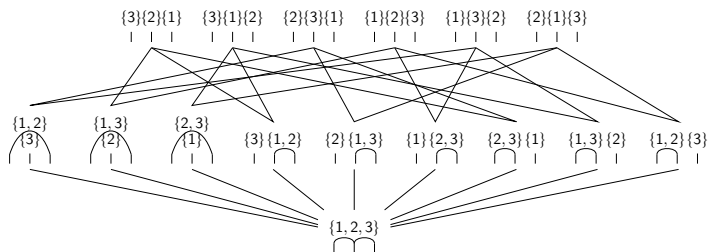
Exemples d'espèces en posets opéradiques

Premier exemple : fonctions de parking

Définition

Étant donné un ensemble fini S , une S -fonction de parking est

- une partition non-croisée $\pi = (\pi_1, \dots, \pi_k)$ de $\{1, \dots, |S|\}$ (où les parts sont ordonnées selon l'élément minimal),
- dont chaque part est étiquetée par un sous-ensemble de S de même taille,
- tels que les ensembles d'étiquettes forment une partition de S ,



Proposition (DO–Josuat-Vergès–Randazzo, 22; Kreweras, 72)

Pour un ensemble fini S , le poset augmenté $\Pi_2(S) \cup \hat{1}$ et les intervalles maximaux de $\Pi_2(S)$ sont décortiquables, et donc Cohen–Macaulay.

$$\dim h^{n-1}(\Pi_2(\{1, \dots, n\})) = n!C_n = (2n - 2)(2n - 1) \dots n,$$

où C_n est le n ème nombre de Catalan. En tant que \mathfrak{S}_n -module, il est composé de C_n copies de la représentation régulière.

Proposition

L'espèce en posets Π_2 est une espèce en posets opéradique.

Proposition

L'égalité suivante est vérifiée dans $h^2(\Pi_2(3))$:

$$(1 < 2) < 3 + 1 < (2 < 3) + (1 < 3) < 2 + 1 < (3 < 2) = 0.$$

En particulier, $a^ : \Lambda^{-1}\text{Lie} \rightarrow h^\bullet(\Pi_2)$ se factorise par $\Lambda^{-1}\text{PreLie}$.*

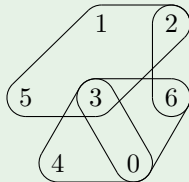
Hypergraphes

Définition (Berge)

Un **hypergraphe** (sur un ensemble V) est un couple (V, E) où :

- V est un ensemble fini (**sommets**)
- E est un ensemble de sous-ensembles de taille au moins 2 de V (**arêtes**).

Exemple d'un hypergraphe sur $[1; 7]$



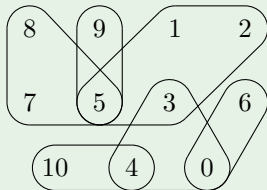
Hyperarbres

Définition

Un **hyperarbre** est un hypergraphe non vide H tel que, pour tous sommets distincts v et w de H ,

- il existe une marche de v à w dans H à arêtes distinctes e_i , (H est **connexe**),
- et cette marche est unique, (H est **acyclique**).

Exemple d'un hyperarbre

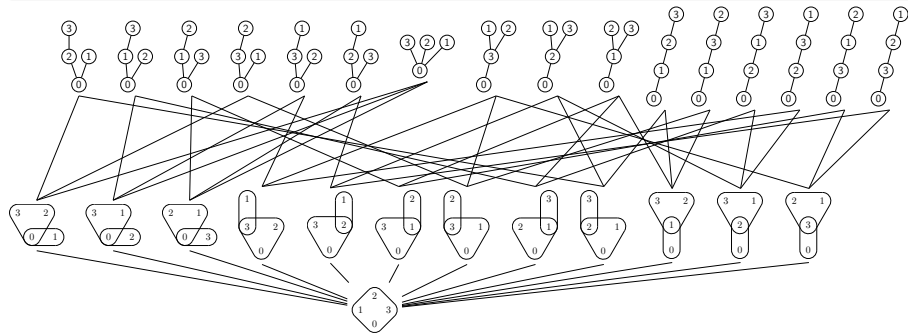


Le poset des hyperarbres

Définition

Soit I un ensemble fini de cardinal n , S et T deux hyperarbres sur I .

$S \leq T \iff$ Toute arête de S est union d'arêtes de T



Caractéristique d'Euler des posets d'hyperarbres

Proposition (McCammond–Meier, 2004)

La dimension de l'unique groupe de cohomologie non trivial de $\widehat{\text{HT}}_n$ est donnée par :

$$\dim \left(H^{n-2}(\widehat{\text{HT}}_n) \right) = (-1)^{n-1} (n-1)^{n-2}$$

Proposition (DO–Dupont, 24+)

La dimension de l'unique groupe de cohomologie non trivial de HT_n est donnée par :

$$\dim \left(H^{n-2}(\text{HT}_n) \right) = (-1)^n \frac{(2n-3)!}{(n-1)!}$$

$$\frac{(2n-3)!}{(n-1)!} ?$$


A006963 Number of planar embedded labeled trees with n nodes: $(2n-3)!/(n-1)!$ for $n \geq 2$, $a(1) = 1$.
(Formerly M3076) 28

1, 1, 3, 20, 210, 3024, 55440, 1235520, 32432400, 980179200, 33522128640, 1279935820800,
53970627110400, 2490952020480000, 124903451312640000, 6761440164390912000, 393008709555221760000,
24412776311194951680000, 1613955767240110694400000 ([list](#); [graph](#); [refs](#); [listen](#); [history](#); [text](#); [internal format](#))

OFFSET 1,3

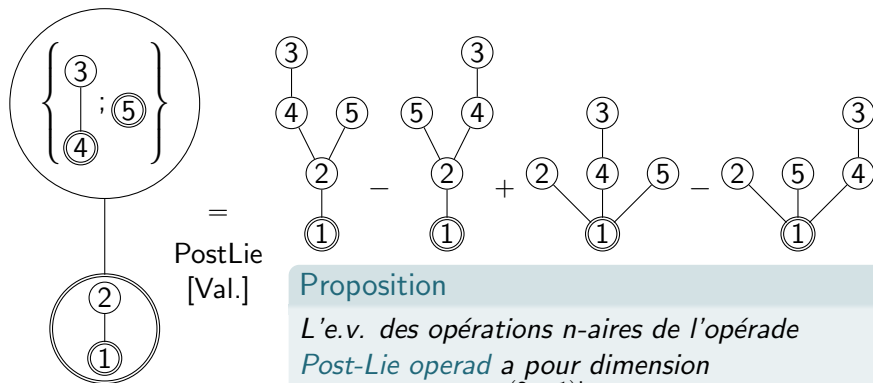
COMMENTS For $n > 1$: central terms of the triangle in [A173333](#); cf. [A001761](#), [A001813](#). - Reinhard Zumkeller, Feb 19 2010
Can be obtained from the Vandermonde permanent of the first n positive integers; see [A093883](#). - Clark Kimberling, Jan 02 2012
All trees can be embedded in the plane, but "planar embedded" means that orientation matters but rotation doesn't. For example, the n -star with $n-1$ edges has $n!$ ways to label it, but rotation removes a factor of $n-1$. Another example, the n -path has $n!$ ways to label it, but rotation removes a factor of 2. - Michael Somos, Aug 19 2014

REFERENCES N. J. A. Sloane and Simon Plouffe, The Encyclopedia of Integer Sequences, Academic Press, 1995 (includes this sequence).

LINKS Vincenzo Librandi, [Table of \$n\$, \$a\(n\)\$ for \$n = 1..200\$](#)
David Callan, [A quick count of plane \(or planar embedded\) labeled trees](#).
Ali Chouria, Vlad-Florin Drăgoi, and Jean-Gabriel Luque, [On recursively defined combinatorial classes and labelled trees](#), arXiv:2004.04203 [math.CO], 2020.
Robert Coquereaux and Jean-Bernard Zuber, [Maps, immersions and permutations](#) , Journal of Knot Theory and Its Ramifications, Vol. 25, No. 8 (2016), 1650047; [arXiv preprint](#), arXiv:1507.03163 [math.CO], 2015-2016.
INRIA Algorithms Project, [Encyclopedia of Combinatorial Structures 109](#).
Bradley Robert Jones, [On tree hook length formulas, Feynman rules and B-series](#), Master's thesis, Simon Fraser University, 2014.
Pierre Leroux and Brahim Miloudi, [Généralisations de la formule d'Otter](#), Ann. Sci.

L'opérade Post-Lie [Vallette, 07 ; Munthe-Kaas–Wright, 08]

Le \mathfrak{S} -module sous-jacent $\text{PostLie}(V)$ de l'opérade **post-Lie** est engendré par les crochets de Lie d'arbres plans sur V . La **substitution** d'un arbre t dans un sommet v est la somme de toutes les manières de greffer les fils de v à droite d'un sommet de t (produit pré-Lie planaire).



Proposition

L'e.v. des opérations n -aires de l'opérade **Post-Lie operad** a pour dimension

$$\# \text{Post-Lie}(n) = \frac{(2n-1)!}{n!}.$$

L'espèce des posets d'hyperarbres est une espèce en posets opéradiques

Soit H un hyperarbre sur S et E' l'ensemble des arêtes de H privées du sommet le plus proche de 0.

- $a(H) = E'$
- $\varphi_H(G)$ = hyperarbre induit par G sur $S/V(H)$
- $\psi_H(J) = \prod_{e \in E'} J|_e$

Proposition (D.O. - Dupont, 24+)

HT est une espèce en posets opéradique.

Opérate sur la cohomologie du complexe des ensembles nichés (aka. post-Lie !)

Considérons l'application

$$\text{Post-Lie} \xrightarrow{\phi} h^*(HT_\bullet)$$

$$1 \triangleleft 2 \mapsto \begin{array}{c} \overset{\curvearrowleft}{1} \quad 2 \\ \diagdown \quad \diagup \\ \end{array}$$

$$\{1; 2\} \mapsto \begin{array}{c} 1 \quad 2 \\ \diagdown \quad \diagup \\ \end{array}$$

Théorème (DO–Dupont, 22+)

ϕ est un morphisme d'opérate. L'opérate sur la cohomologie des posets d'hyperarbres est la désuspension de l'opérate post-Lie.

Structure de module opéradique à gauche

En considérant les chaînes dont le minimum est un élément minimal du poset, nous prouvons que l'opérade pré-Lie est un post-Lie-module à gauche avec les opérations suivantes :

$$\begin{aligned}1 \triangleleft T &= 1 \curvearrowright T, \\(G \curvearrowright D) \triangleleft T &= (G \triangleleft T) \curvearrowright D + G \curvearrowright (D \triangleleft T) \\ \{S, T\} &= T \curvearrowright S - S \curvearrowright T,\end{aligned}$$

où \curvearrowright est le produit pré-Lie.

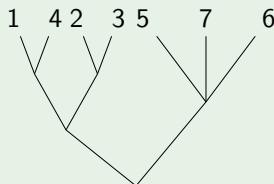
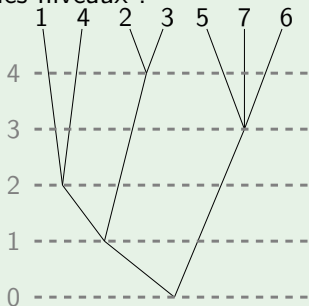
Ensembles nichés

Problème

Il n'y a pas de structure d'opérade sur la construction cobar à niveaux, mais il y en a une sur la construction cobar !

Solution :

Oublier les niveaux !



C'est ce que l'on fait en considérant les ensembles nichés à la place des chaînes !

Ensembles de construction et ensembles nichés [De Concini–Procesi, 95 ; Feichtner–Müller, 05]

Soit \mathcal{L} un semitreillis supérieur (tout sous-ensembles non vide a une borne sup). Pour tout $S \subseteq \mathcal{L}$ et $x \in \mathcal{L}$, notons

$$S_{\geq x} = \{y \in S \mid y \geq x\}.$$

Définition

Un **ensemble de construction** est un sous-ensemble \mathcal{G} de $\mathcal{L}_{< \hat{1}}$ tel que pour tout $x \in \mathcal{L}_{< \hat{1}}$ et $\max \mathcal{G}_{\geq x} = \{g_1, \dots, g_k\}$,

$$[x, \hat{1}] \simeq \prod_{i=1}^k [g_i, \hat{1}].$$

Un **ensemble niché** est un sous-ensemble S de \mathcal{G} tel que pour tout ensemble d'éléments incomparables x_1, \dots, x_t de S ($t \geq 2$), l'ensemble $\{x_1, \dots, x_t\}$ a une borne inf qui n'appartient pas à \mathcal{G} .

Résultat topologique

Les ensembles \mathcal{G} -nichés forment un complexe simplicial abstrait, appelé le complexe des ensembles nichés.

Proposition (Feichtner–Müller, 05)

*Soit \mathcal{L} un semi-treillis supérieur et un ensemble de construction associé \mathcal{G} . Le complexe d'ensembles nichés associé est *homotopiquement équivalent* au complexe d'ordre du poset.*

Pour les posets de partitions

La construction cobar (de l'opérateur commutative) correspond au complexe de chaînes des ensembles nichés associés à l'ensemble de constructions minimal.

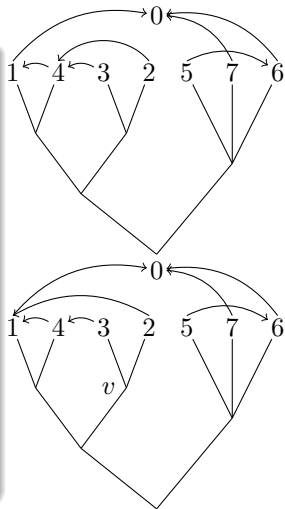
Le complexe des ensembles nichés des hyperarbres

- Les intervalles maximaux des posets d'hyperarbres sont des semi-treillis supérieurs.
- Les ensembles nichés pour les hyperarbres sont :

Définition

Un arbre de fusion est une paire (T, τ) d'arbres tels que

- T est un arbre (non plan) enraciné réduit (pas de sommet de valence 2) dont les feuilles sont étiquetées par $\{1, \dots, n\}$
- τ est un arbre (non plan orienté) dont les sommets sont étiquetés par $\{0, \dots, n\}$ et de racine 0
- pour tout sommet interne s de T , la restriction de τ aux arêtes quittant les feuilles au-dessus de s est connexe.



Composition opéradique

La composition opéradique d'un arbre de fusion b dans un sommet v est donnée par :

- les enfants de v pour l'arbre du haut sont attachés à des sommets dans b (composition pré-Lie)
- l'arbre du bas de b est greffé à la place de la feuille v (composition magmatique usuelle)

$$\begin{aligned}
 m_\pi = & \text{Diagram of } m_\pi \text{ with children } \{1\}, \{2,4\}, \{3,5\}, \{6\} \text{ and root } 0 \\
 & , m_{\{1\}} = \text{Diagram of } m_{\{1\}} \text{ with child } 1 \text{ and root } 0 \\
 & , m_{\{2,4\}} = \text{Diagram of } m_{\{2,4\}} \text{ with children } 2, 4 \text{ and root } 0 \\
 & , m_{\{3,5\}} = \text{Diagram of } m_{\{3,5\}} \text{ with children } 3, 5 \text{ and root } 0 \\
 & , m_{\{6\}} = \text{Diagram of } m_{\{6\}} \text{ with child } 6 \text{ and root } 0 \\
 \gamma(t(m_\pi), (t(m_p))_{p \in \pi}) = & \text{Sum of four diagrams where the trees } m_{\{1\}}, m_{\{2,4\}}, m_{\{3,5\}}, m_{\{6\}} \text{ are grafted onto } m_\pi
 \end{aligned}$$

Opérate sur la cohomologie du complexe des ensembles nichés (aka. post-Lie !)

Considérons l'application

$$\text{Post-Lie} \xrightarrow{\phi} h^*(HT_\bullet)$$

$$1 \triangleleft 2 \mapsto \begin{array}{c} \overset{\curvearrowleft}{1} \quad 2 \\ \diagdown \quad \diagup \\ \end{array}$$

$$\{1; 2\} \mapsto \begin{array}{c} 1 \quad 2 \\ \diagdown \quad \diagup \\ \end{array}$$

Théorème (DO–Dupont, 22+)

ϕ est un morphisme d'opérate. L'opérate sur la cohomologie des posets d'hyperarbres est la désuspension de l'opérate post-Lie.

À faire

- Étudier la structure d'opéade cyclique sur la cohomologie.
- Définir directement la structure d'opéade sur les ensembles nichés associé à l'ensemble de construction minimal [relié au travail de B. Coron]
- D'autres exemples ? (par exemple partitions et hyperarbres bidécorés)

À faire

- Étudier la structure d'opéade cyclique sur la cohomologie.
- Définir directement la structure d'opéade sur les ensembles nichés associé à l'ensemble de construction minimal [relié au travail de B. Coron]
- D'autres exemples ? (par exemple partitions et hyperarbres bidécorés)

Merci de votre attention !